

دراسة تأثير نوع المزيت على القدرة اللازمة للتشكيل في قوالب البلاط باستخدام نظريه الحد الأعلى (Upper Bounded)

نجم عبد الأمير سعيد أحمد عودة جاسم عبد الرحيم كاظم عبد علي
كلية الهندسة - جامعة بابل

الخلاصة

ويهدف هذا البحث إلى أيجاد العلاقة بين القدرة اللازمة للتشكيل ونوع المزيت المستخدم وذلك باستخدام نظرية الحد الأعلى (Upper Bounded). تم تحديد نوع واحد من القوالب بـ تأثير تشكيله بالحراء العصلي ، حيث تم حساب الضغط الناتجي المطلوب للتشكيل (p/y) على معلم التشكيل ليكونه من منطقة تحمل المعدن في التشكيل (0-X) وحساب مركبات أجزاء المقدمة الأجمالية وذرالة تأثير المقدمة على الحد الأعلى مع جهاز المقابل . تم كتابة برنامج بافتراض السرعه وذلك لغير من الأسراع في حساب الحد الأعلى الذي يطلب وذراً كبيراً يدونه .
ويمكن التأكيد على تقصين الطاقة اللازمة للتشكيل والخدوش معتمداً على المقدمة التي يكتب معها .
وذلك باستخدام المزيت اليديروليكي وأرتفاع مقدار الصاجة وزراعة معدن التشكيل على سطح المقدمة .
المختصر

المقدمة

إن العمل الدقيق لمحضلي التشكيل يتحقق بعمليات التشكيل المعدني أسرع شبه في تضليل المعدن .
وضع تأثيرات وتصييلات جديدة بغية تحقيق حذل تقوية لذرا المضليل .
وهي من هذه التأثيرات σ_{upper} و σ_{lower} حيث يمكن من خلال هذه التأثيرات حذل على حسب المقدمة
والأعلى $upper$ and $lower$ bounds .
القدرة اللازمة ، تحدد هذه العدة وأصناف الأسياب والتصنيع الأمثل للتشكيل .
مدخلية المقدمة ، كما يمكن تتبه بعيوب العملية المختبرة وطرائق تأثيرها .
إن حساب القدرة الكافية للهزيمة يكتسب معدن داخل قالب معين باستخدام نظرية الحد الأعلى .
أحياناً يكتب أجزاء هذه التأثير وهي :
1- التقدرة الداخلية اللازمة للتشكيل (w_i)
وتحسب من العلاقة التالية :

$$\cdot = \int \bar{\sigma} \bar{e} dV$$

حيث أن $\bar{\sigma}$ هو أجهزة الأسياب المكافئ σ_{eq} أو الأجهزة المكافئ σ_{eq}
الفعالة Effective Strain
2- القدرة اللازمة للتغلب على التنصت (w_c)

$$w_s = \int_A s_i dA$$

حيث s_i هي Velocity Discontinuity
مساحة الخروج أو الدخول حسب القدرة المراد حسابها.

$$3- \text{القدرة المترتبة للشعب على الأحتكك} (w_t) \quad (1.2.3.4)$$

$$w_t = m \int_A k s_i^2 dA$$

حيث (m) هو معامل الأحتكك بين المعدن وجدار القلب و k هو اتجاه التصريح.

4- القدرة الكتيبة المترتبة للتسكين تساوي مجموع هذه الأجزاء.

$$P_{total} = w_t + w_s + w_f$$

الدراسات السابقة

هناك العديد من البحوث في مجال دراسة انسياپ في مجال دراسة انسياپ المعدن حيث اقتصرت القدرة المترتبة على استخدام نظرية الشوكة المترتبة Visco Plasticity في تحليق الشائخ كذلك هناك بحوث استخدمت فيها تخريب الحد الأقصى وأذاع على في تحطيم الشائخ^(١) وهذا في دراسات استخدمت فيها تخربة خط سحق الانزلاق Slip Line Field Theory كذلك هناك دراسات استخدمت فيها تخربة التوازن Equilibrium Method ونظرية الترددات المترقبات المتمددة Finite Deference Method.

وسن حاول في دراسة (الجعالي حسن محمد) والسيد مدحت الباجل^(٢) (دراسة انسياپ المعدن حيث سميت بـ«طرفة العين» تطبيقية التوتنة المترقبة) حيث أجريت تجربة عملية ترقة لطبقات من البروميلين التي تم إنشاؤها بـ«طرفة العين» تحت طروف أفعوال مستوي وتمت دراسة تغير نسبة التوتر واتساعه دورانه تقرضاً لتشغل على الأفعوال الذي (٣) (٤) (٥) ومعامل التشغيل الشائخ (ϕ) لقيم مختلفة من الأفعوال المتباين (٦) حيث تراوح بين (٠.٢٥) (١) ومن خلال هذه الدراسة تم التعرف على تأثير المتغيرات أعلاه على عملية إنتاج الحلقات المترقبة.

أما تباختل (P.L.Oxley)^(٧) و (I.E.Farmer)^(٨) فقاما بحسب توزيع معلم الأفعوال والأفعوال باستخدام نظرية الشوكة المترقبة Visco Plasticity وبمساعدة الكومبيوتر حيث تمت شبكته شبكة Printed Grids على شكل مربعات بطول ضلع ٠.٠٠٢ أنج، وتم تحليلاً بالذاتي إلى برنامج معالجة لهذا العرض يعين نقاط التفاصي الشبكة مع سرعة السكين.

الحسابات والجزء العملي

تم حساب لقدرة المصروفه في عملية التشكيل بطريقة تقريب العد الأعلى لعملية التشكيل في قلب دائري المقطع وكما يلي :

I-Shear Power of Inlet w_s

$$w_s = k \int |\Delta V| d's$$

$$ds = 2\pi dr$$

from hedograph(1)

$$\tan \alpha \frac{V_{out}}{V_o} = \frac{V_{out}}{V_o}$$

$$V_{out} = V_o \tan \alpha$$

from hedograph(2)

$$\frac{V_{out}}{r_o} = \frac{V}{r}$$

$$\therefore V_o = \frac{V_{out} * r}{r_o}$$

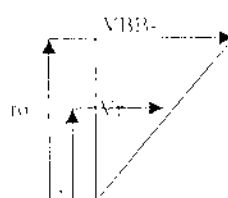
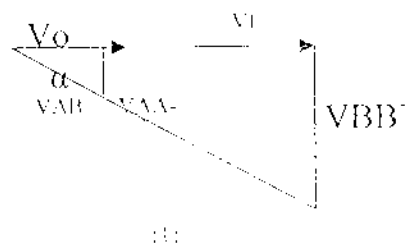
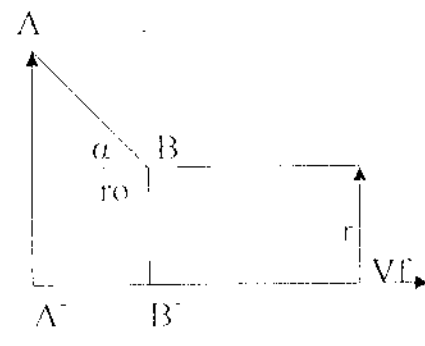
$$V_o = \frac{V \tan \alpha}{r_o} * r$$

$$w_s = 2k \int \frac{V \tan \alpha}{r_o} * r \pi r dr$$

$$\therefore w_s = \frac{2kV \tan \alpha \pi}{3} r^3$$

وبنفس الطريقة يتم حساب قيمة W_s للخروج :

$$W_s = \frac{2kV r^3 \tan \alpha \pi}{3}$$



(1)

(2)

2-Friction Power along the die-interference (w_f)

$$w_f = mk \int |\Delta v| dA$$

$$dA_s = 2Ar.ds$$

مساحة نصف القالب

$$dA_s = \pi r.ds$$

$$\sin \alpha = \frac{dr}{ds}$$

$$ds = \frac{dr}{\sin \alpha}$$

$$dA_s = \frac{\pi r dr}{\sin \alpha}$$

$$V_{\pi r^2} = V_{\pi r^2} \therefore V_s = \frac{V r^2}{r^2}$$

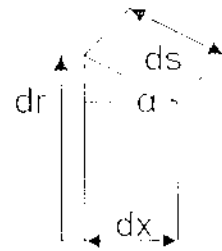
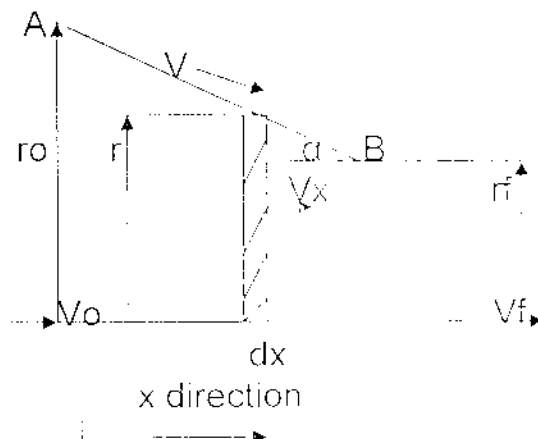
$$\cos \alpha = \frac{V}{V_s} \therefore V = \frac{V_s}{\cos \alpha}$$

$$V = \frac{V r^2}{r^2 \cos \alpha}$$

$$w_f = 2mk \int \frac{V r^2}{r^2 \cos \alpha} * \frac{\pi r dr}{\sin \alpha}$$

$$w_f = \frac{2mkV r^2 \pi}{\cos \alpha \sin \alpha} \int \frac{dr}{r}$$

$$w_f = \frac{2mkV r^2 \pi}{\cos \alpha \sin \alpha} \ln \left(\frac{r_i}{r_o} \right)$$



وتحسب قيمة (w_f)

$$w_f = \int \bar{\delta} \ddot{e} d$$

$$\bar{\sigma} = y$$

الآن نصل إلى النهاية في حل مشكلة التفافية

$$\bar{\mathcal{E}} = \frac{\sqrt{2}}{\sqrt{3}} \int (\dot{\alpha}^2 + \dot{\varepsilon}^2 + \dot{\delta}^2 + \frac{1}{2} [\dot{\gamma}_x^2 + \dot{\gamma}_y^2 + \dot{\gamma}_z^2])^{\frac{1}{2}}$$

$$W = V \sqrt{\frac{2}{3}} \int \frac{4Vr^3 \tan \alpha}{r^6} + \frac{V^2 r^2 \tan^2 \alpha}{r^6} + \frac{V^2 r^2 \tan^2 \alpha}{r^6}$$

$$+ \left[\frac{8V^2 r^3}{r^6} (\tan \alpha + 1) + \frac{16V^2 r^4 \tan^2 \alpha}{r^6} \right] r dr d\alpha$$

$$= V \sqrt{\frac{2}{3}} \left[\frac{6V^2 r^3 \tan^2 \alpha}{r^6} + \frac{1}{2} \left[\frac{8Vr^2}{r^3} [(\tan \alpha + 1)^2 + 2 \tan \alpha] \right] \right] r dr d\alpha$$

$$W = V \sqrt{\frac{2}{3}} \int \frac{(2Vr^3)^2 [9 \tan^2 \alpha + 4 \tan \alpha + 2]}{r^9} \pi r^3 dx$$

$$r = r_0 + x \tan \alpha$$

$$W = V \sqrt{\frac{2}{3}} Vr^3 (9 \tan^2 \alpha + 4 \tan \alpha + 2) \int \frac{dx}{r_0 + x \tan \alpha}$$

$$W = V \sqrt{\frac{2}{3}} Vr^3 (\tan^2 \alpha + 4 \tan \alpha + 2) \left[-\frac{1}{\tan \alpha} \left(\ln \frac{r}{r_0} + x \right) + \frac{1}{\tan \alpha} \left(\ln \frac{r}{r_0} + x \right) \right]$$

$$TotalPower = PV(\pi r^3)$$

$$TotalPower = W_{wind} + W_{propulsion} + W_{mechanical}$$

$$W_{wind} + W_{e} + W_{mechanical} = S_w + S_e + S_m * S_a$$

$$W_e = \frac{4kVr^3 \pi \tan \alpha}{3} = \frac{4Vr^3 \pi \tan \alpha}{3}$$

$$W_e = \frac{2mkVr^3 \pi}{\cos \alpha \sin \alpha} \ln \frac{r}{r_0} = \frac{myVr^3 \pi}{\cos \alpha \sin \alpha} \ln \frac{r}{r_0}$$

$$W_m = \frac{2y}{\sqrt{3}} Vr^3 (9 \tan^2 \alpha + 4 \tan \alpha + 2) = \frac{1}{-\tan \alpha} \left[\ln \frac{r}{r_0} + x \right] - \ln \left[\frac{r}{r_0} \right]$$

$$\pi V r^2 \frac{p}{y} = \frac{2 \tan \alpha (\pi V r^2)}{3} + \frac{m \pi V r^2 \ln \frac{r_e}{r_o}}{\cos \alpha \sin \alpha} + \frac{2 \pi V r^2}{\sqrt{3}} (9 \tan^2 \alpha + 4 \tan \alpha + 2)$$

$$= \frac{1}{-\tan \alpha} \left[\ln \left| \frac{r_e}{r_o} \right| + x \right] - \ln \left| \frac{r_e}{r_o} \right|$$

حيث ، في سطح السعر لأحتساب قيمة y/p والتي تم الرمز لها (J) في البرنامج كانت قيمة TAF والتي تم الحصول على جدول بالمقدار 20 قيمة كذلك تم رسم العلاقة بين قيم y/p مع قيم x وكما مبين في الجدول التالي :

جدول رقم(1) يمثل قيم مخرجات البرنامج المستخدم

r_o	r_e	X	Z_{out}
100	100	0	0
100	100	10	0
100	100	20	0
100	100	30	0
100	100	40	0
100	100	50	0
100	100	60	0
100	100	70	0
100	100	80	0
100	100	90	0
100	100	100	0
100	100	110	0
100	100	120	0
100	100	130	0
100	100	140	0
100	100	150	0
100	100	160	0
100	100	170	0
100	100	180	0
100	100	190	0
100	100	200	0

أ) (x) هنا ممثل قيمة L أي تبعد عن مدخل القلب
نفترض أن :

$$s_1 = \frac{2 \tan \alpha}{3}$$

$$s_2 = \frac{m}{\cos \alpha \sin \alpha} \ln \frac{r_e}{r_o}$$

$$s_3 = \frac{1}{-\tan \alpha} \left\{ \ln \left| \frac{r_e}{r_o} + x \right| - \ln \left| \frac{r_e}{r_o} \right| \right\}$$

$$s_4 = \frac{2}{\sqrt{3}} (9 \tan^2 \alpha + 4 \tan \alpha + 2)^{\frac{1}{2}}$$

$$\therefore w_1 = s_3 * s_4$$

النتائج

تم تطبيق البرنامج الذي تم إعداده لهذا الغرض بلغة بيسك لتقارب المثبت متطبعه بالشكل رقم (1) وبازداد المثبت بالجدول رقم (2) وعلى مفague مختلفة. كذلك تم اختبار معاملات احتكاك مختلفة (m) وحسب نوع المزيت وعند تطبيق هذا البرنامج تم احتساب جميع أجزاء الطاقة المصروفة أثناء التشكيل وكل قيمة من قيم معامل الاحتكاك والجدول رقم (3) يبين قيم أجزاء الطاقة عند معامل احتكاك مقداره (1) وهي حتى المتصادم الشام وكذلك حساب مركبات الطاقة اللازمة لاحتكاك عند قيم معاملات احتكاك (0.6-0.2) والتي تشمل معاملات الاحتكاك في أكثر المزيالت شيوعاً كما مبين بالشكل (2). تم احتساب القدرة الكافية لحالة واحدة وهي معامل احتكاك (1) مع ثابت مركبات القدرة وكانت النتائج كما في الشكل رقم (3).

$$RF = RO \cdot p/y$$

```

10 DIM RO(20),RF(20),X(20),M(20)
20 FOR I=1 TO 20
30 INPUT "give RO";RO(I)
40 INPUT "give RF";RF(I)
50 INPUT "give X";X(I)
60 INPUT "give M";M(I)
70 NEXT I
80 FOR J=1 TO 20
90 TAF(J)=(RO(J)-RF(J))/X(J)
100 ALFA=ATN(TAF(J))
110 Z(J)=2TAF/3*(M/COS(ALFA)*SIN(ALFA))*LN
      RF/RO+(2/SQRT(-TAF)^2*(9TAF^2+9TAF^2)/2+LN*RO+
      TAF*X+LN*RO/TAF)
120 NEXT J
130 CLS
140 Print TAB(2);"RO";TAB(15);"RF";TAB
(27);"TAF";TAB(37);"X";TAB(44);"Z"
150 Print TAB(2);"-";TAB(15);"-";TAB(27);"-";TAB(37);"-";
TAB(44);"-"
160 FOR J=1 TO 20
170 Print RO(J);TAB(13);RF(J);TAB(5);TAF(J);TAB
(35);X(J);TAB(42);Z(J);
180 Print
190 NEXT J
200 END

```

العدد ٦٠ الصندوق / المعايير الهندسية للمرايا

X(mm)	Z _n	R _{N(mm)}
0.5	Z ₁	1.007453
1	Z ₂	1.0164707
1.5	Z ₃	1.027398
2	Z ₄	1.040666
2.5	Z ₅	1.03816303
3	Z ₆	1.0818266
3.5	Z ₇	1.1319806
4	Z ₈	1.1898397
4.5	Z ₉	1.1026503
5	Z ₁₀	1.2158378
5.5	Z ₁₁	1.340644
6	Z ₁₂	1.478261
6.5	Z ₁₃	1.147124
7	Z ₁₄	1.297957
7.5	Z ₁₅	1.4505913
8	Z ₁₆	1.603250
8.5	Z ₁₇	1.1106109
9	Z ₁₈	1.207845
9.5	Z ₁₉	1.291726
10	Z ₂₀	1.3630095

جدول رقم (2) يمثل قيم الابعاد الخاصة للقلب المصمم

المنافسة

نلاحظ من خلال الشكل (3) والتي بين العلاقة بين y/p و x من بداية القلب إن قيمة p/y تبدا بالزيادة كلما ابتعدنا عن قلب القلب وهذا يرجع إلى ان القدرة المبذولة تزداد كلما ابتعدنا x حيث ان المذرة المبذولة لتحريك المعدن خلال القلب بشكل كامل أكبر من الدافع المتصروفة لتحريك المعدن خلال مقطع معين من القلب ذلك لزيادة قيمة طاقة التغلب على الأحتكاك وزراعة صفة نفس ذلك زيادة المقاومة الداخلية للتشويه المعدن (W1). كذلك نلاحظ أن قيمة p/y هي محسوبة بمقدار معينه التي (m) وتم اعتبار قيمة m متساوية لـ(1) كقصوى قيمة مطلوبة لقدرة الأحتكاك وبشكل اخر المنسوب تقىيم M المقدار شكل (2) ان سخن المذرة يتغير موقعه الى الأسفل وهذا ملحوظ ان تقصىن قيم معدل الأحتكاك تزيد من قابلية التشكيل للمعدن في شكل مفرد التشكيلها .

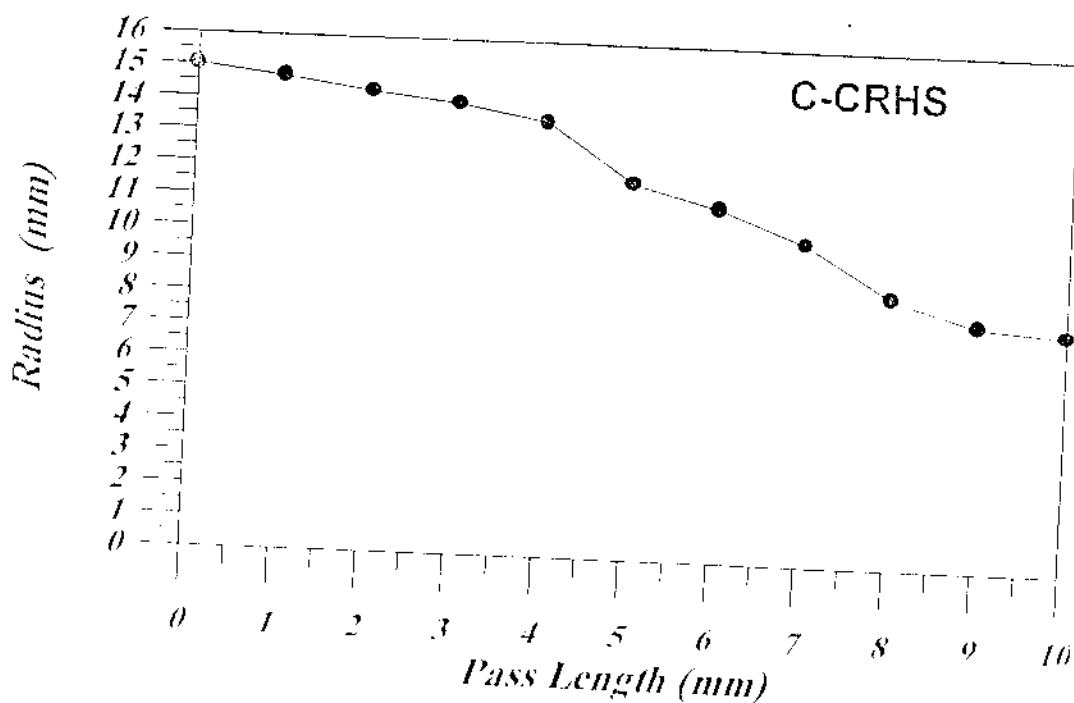
بعضها ذكر سهل القلب له تغير مهم على قيمة القدرة فمثلا عندما يكون ميل القلب غير حاد تكون القدرة المتصروفة بذلك كما هو موضح في التمرين المحسوسه بين قيمة 0 x الى 4.5mm اما عندما يكون القلب حاد الميل فان الطاقة المبذولة تزداد كما هو واضح بجزء الشحنة المحسوسه بين النقطة 4.5 x الى نهاية القلب كما هو موضح في الشكل رقم 1.

الاستنتاجات

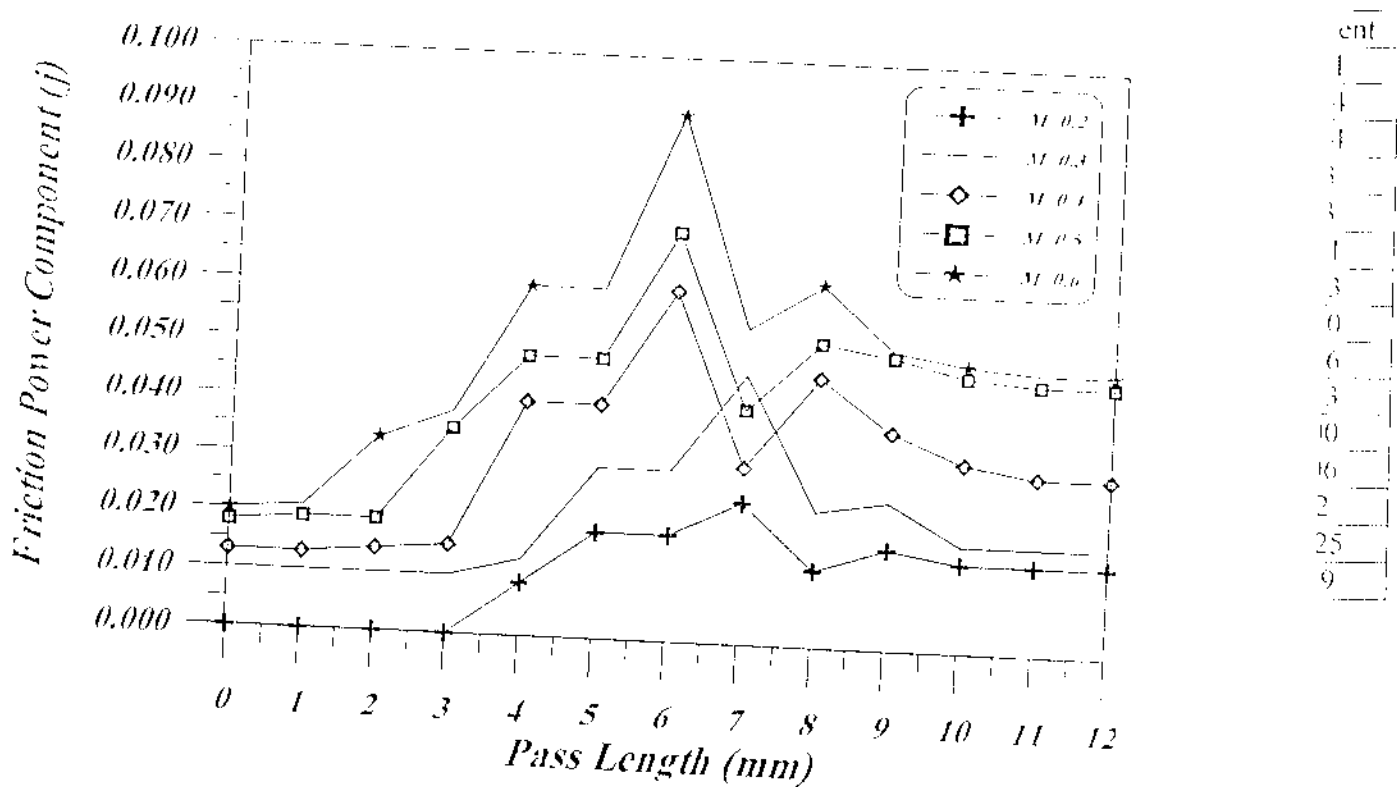
- ١- زراعة جزء المذرة الازمة للتغلب على الأحتكاك مع زيادة معامل الأحتكاك .
- ٢- زراعة المذرة الازمة للتشكيل مع زيادة مركبة الطاقة الازمة لمقداره الأحتكاك .
- ٣- زراعة المذرة الازمة الكثيرة عندما يكون الميل حاد وبالعكس .
- ٤- استخدام برنامج حاسوبية المساعدة في احتساب القدرة بطريقة (Upper bounded theory)
- ٥- تلك المركبة المتصروفة في الحسابات بشكل كبير وبجعل من التدريقة فعالة جدا .

المصدر

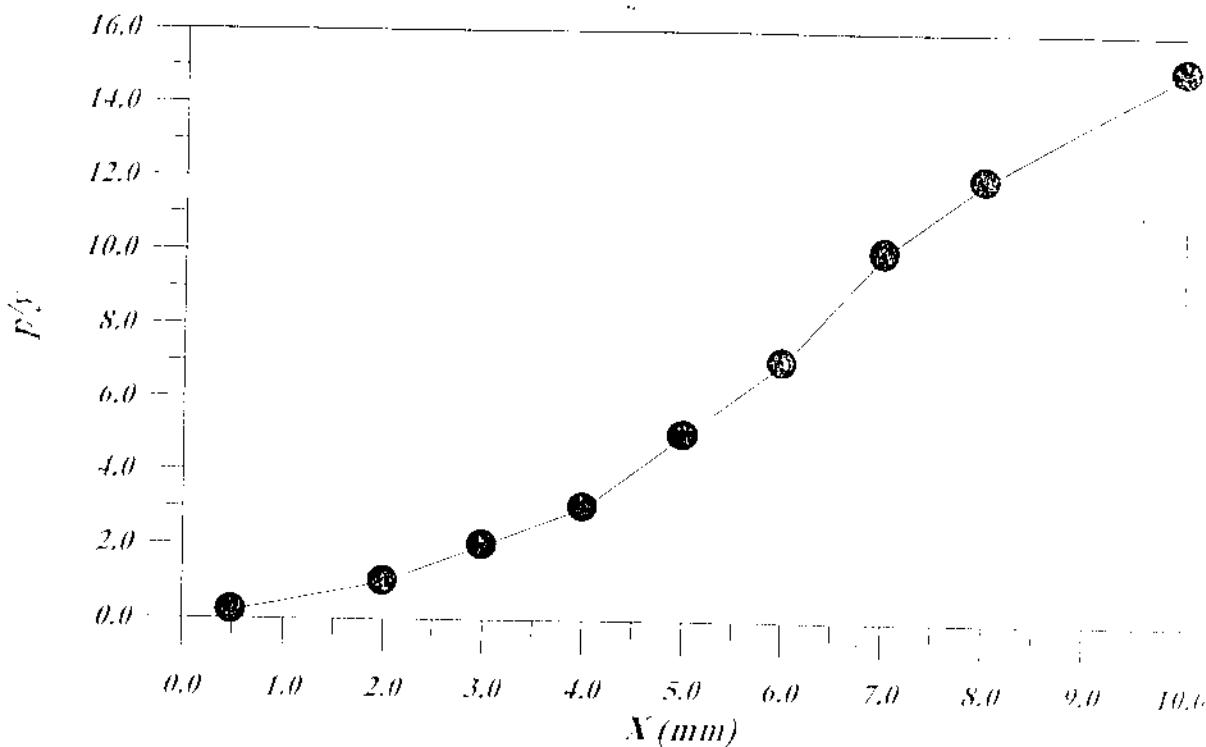
- ١- يبروق مصمور ميدني (حساب الازمة الازمة الشق بالستخدام نظرية العد الأعلى) رساله دكتوراه ، الجامعه الكنديه لوحده ،
- ٢- P.B. Miller, W. Johnson,(Engineering plasticity),van co , LONDON 1973.
- ٣- محمد حسن سعيد مثنى محبت الدين (دراسة الميكانيكا المعدن خلال عملية ضربة الأحتكاك بطريقة اللوحة المترتبة) ،
- ٤- ب. حسنه ، شكل اجهزة ، العدد (4) سنة 1997.
- ٥- L.E. Farmer, P.L. Oxley,(A computer aided method for calculating the distribution of strain in an experimental flow field, J. strain analysis.vol.II,NO.1,1976.
- ٦- A., Dieter(Mechanical metallurgy) 3rd edition, McGraw-Hill co,1986.
- ٧- صلاح رسول حمزه ، البراحة بُغة بيتك . جامعة بغداد 1990.
- ٨- GW basic, Microsoft co. 1988.
- ٩- Sinhu, Theory of metal forming and metal cutting ,Delhi,1986
- ١٠-Gupta ,(Theory of plasticity),New Delhi ,1987,
- ١١-Doyle.(manufacturing processes and materials for engineers), Me-Grav Hill company , 1984.



شكل رقم (١) يمثل الشكل الهندسي ل قالب من نوع (C-CRHS)



شكل رقم (٢) يوضح العلاقة بين مركبات قدرة الاحتكاك و طول المسار ل قالب.



شكل رقم (3) يبين العلاقة بين X و p/y

Abstract

The aim of this paper is to obtain the relationship between the required power of deformation and the type of lubricant by using the upper bounded theory which is applied for one type of dies. The total pressure required to deform (p/y) through the die length is calculated. Also, energy components and the effect of increasing energy due to friction force between walls of die studied. Computer program in Basic language is written to reduce required operation time for calculating of upper bounded theory.

From the obtain result, decreasing of total require energy to deformation is occurred with reducing friction coefficient due to use hydraulic oil.